

ТЕМПЕРАТУРНЫЙ ТЕСТ ДЛЯ МОДИФИЦИРОВАННЫХ
БАЗИСОВ БИКУБИЧЕСКОЙ ИНТЕРПОЛЯЦИИ

Козуб Н.А., Манойленко Е.С., Хомченко А.Н.

Постановка проблемы. Проблема модификации базисов конечно-элементных аппроксимаций возникла практически одновременно с появлением метода конечных элементов (МКЭ). Однако существенный прогресс в решении задач оптимизации вычислительных качеств КЭ за счет модификации базисов был достигнут лишь в 60-70 -е годы прошлого столетия совместными усилиями инженеров и математиков. Накопленный опыт обнаружил недостатки традиционного матричного подхода к моделированию КЭ, что стимулировало развитие геометрического конструирования базисов. В результате прямого геометрического конструирования были созданы альтернативные модели КЭ, позволяющие корректно формулировать и успешно решать актуальную задачу оптимизации базисов на основе взвешенного усреднения альтернатив.

Анализ предшествующих публикаций, постановка задачи. Первые содержательные результаты, связанные с моделированием и применением четырехугольных КЭ, были получены в 1966 г. (Ergatoudis J.). Настойчивые попытки исключить внутренние узлы лагранжевой интерполяции привели к появлению [1,2] очень полезных, но плохо поддающихся формализации, КЭ серендипова семейства (Irons B., Ergatoudis J., Zienkiewicz O.). Вскоре стало ясно, в особенности, после появления гексагональных КЭ, что возможности матричной алгебры в дискретных аппроксимациях явно недостаточны. В МКЭ стали проникать геометрические приемы построения интерполяционных базисов [3]. Именно благодаря геометрическому моделированию впервые удалось найти альтернативные базисы серендиповых КЭ [4,5]. Было установлено, что альтернативы существуют только на КЭ высших порядков (начиная с третьего). В работе предпринята попытка на примере серендипова КЭ с 12 узлами продемонстрировать возможность управлять формой бикубической поверхности в пределах носителя так, чтобы исключить нарушения в граничных условиях. Это означает, что различные модификации КЭ можно ансамблировать без риска нарушить межэлементную непрерывность.

Цель статьи – показать преимущества геометрического моделирования и протестировать некоторые модификации базисов бикубической интерполяции.

Основная часть. Серендипов КЭ бикубической интерполяции представляет собой квадрат ($|\xi| \leq 1, |\eta| \leq 1$) с 12 регулярно расположенными граничными узлами (рис.1).

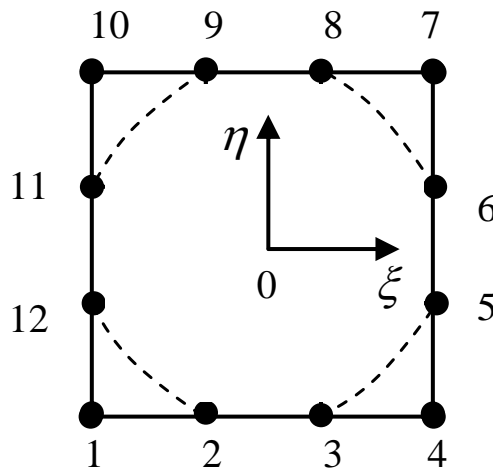


Рис.1 Серендипов КЭ бикубической интерполяции.
Линия нулевого уровня модели с параболоидом вращения.

Из литературных источников [1,2,6] известно, что его единственный базис, найденный подбором, имеет вид:

$$N_i(\xi, \eta) = \frac{1}{32}(1 + \xi_i \xi)(1 + \eta_i \eta)(9(\xi^2 + \eta^2) - 10) \text{ для угловых узлов } i = 1, 4, 7, 10, \xi_i, \eta_i = \pm 1.$$

$$N_i(\xi, \eta) = \frac{9}{32}(1 - \eta^2)(1 + \xi_i \xi)(1 + 9\eta_i \eta) \text{ для } i = 5, 6, 11, 12, \xi_i = \pm 1, \eta_i = \pm \frac{1}{3}.$$

$$N_i(\xi, \eta) = \frac{9}{32}(1 - \xi^2)(1 + \eta_i \eta)(1 + 9\xi_i \xi) \text{ для } i = 2, 3, 8, 9, \eta_i = \pm 1, \xi_i = \pm \frac{1}{3}.$$

Геометрический анализ приведенного базиса показывает, что бикубические поверхности $N_i(\xi, \eta)$ состоят из плоскостей и поверхностей 2-го порядка. Наиболее содержательны угловые функции. Они влияют на четыре соседних КЭ, в отличие от промежуточных, влияющих лишь на два КЭ. Естественно, что угловые функции определяют названия моделей. Например, составляющими поверхности $N_1(\xi, \eta)$ являются гиперболический параболоид (гипар) $Z_1 = \frac{1}{4}(1 - \xi)(1 - \eta)$ и параболоид вращения $W_1 = \frac{1}{8}(9(\xi^2 + \eta^2) - 10)$.

На рис.1 пунктиром показана линия нулевого уровня поверхности $N_1(\xi, \eta)$ - окружность. Это след пересечения плоскости КЭ с параболоидом вращения. Поэтому приведенная система функций названа моделью с параболоидом вращения (ПВ). Легко заметить, что поверхность $N_2(\xi, \eta)$ составлена из параболического цилиндра $Z_2 = \frac{9}{8}(1 - \xi)^2$ и двух плоскостей $W_2 = \frac{1}{2}(1 - \eta)$ и $V_2 = \frac{1}{2}(1 - 3\xi)$. Примечательно, что возможны и другие композиции. В этом основное преимущество геометрического моделирования. Здесь уместно отметить исключительную роль гипара, без которого не обходится ни одна композиция серендипова семейства.

Можно построить еще одну модель бикубической интерполяции, если в $N_1(\xi, \eta)$ параболоид вращения заменить параболическим цилиндром $W_1 = \frac{1}{8}(9(1 + \xi + \eta^2) - 1)$, который проходит через узлы 2,3,11,12 и точку (-1;-1;1). Образующая параболического цилиндра параллельна диагонали 4-10 КЭ. На рис.2 показаны линии пересечения параболического цилиндра с плоскостью КЭ.

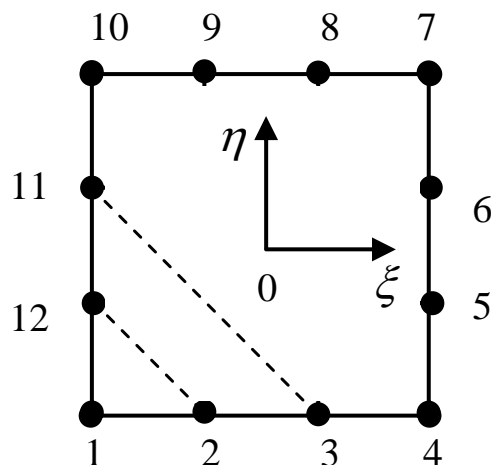


Рис.2 Линии нулевого уровня модели с параболическим цилиндром

Композиция для промежуточных узлов подбирается с учетом интерполяционной гипотезы Лагранжа. Таким образом, модель с параболическим цилиндром (ПЦ) состоит из следующих функций:

$$N_i(\xi, \eta) = \frac{1}{32}(1 + \xi_i \xi)(1 + \eta_i \eta)(9(1 - \xi_i \xi - \eta_i \eta)^2 - 1), \quad i = 1, 4, 7, 10, \quad \xi_i, \eta_i = \pm 1;$$

$$N_i(\xi, \eta) = \frac{9}{32}(1 - \xi^2)(1 + \eta_i \eta)(9\xi_i \xi + \eta_i \eta), \quad i = 2, 3, 8, 9, \quad \eta_i = \pm 1, \quad \xi_i = \pm \frac{1}{3}.$$

Чтобы получить $N_i(\xi, \eta)$ для остальных промежуточных узлов достаточно в последней формуле переставить ξ и η .

Сравнение моделей ПВ и ПЦ показывает, что последняя «скрывает» тринадцатый параметр $\xi^2 \eta^2$, который в комбинированных моделях способен количественно и качественно изменять аппликаты бикубических поверхностей. Комбинированная модель получается взвешенным усреднением каких-либо двух исходных моделей по формуле

$$N_i^{(k)}(\xi, \eta) = \alpha N_i^{(ПВ)}(\xi, \eta) + (1 - \alpha) N_i^{(ПЦ)}(\xi, \eta).$$

С помощью весового коэффициента $\alpha (0 \leq \alpha \leq 1)$ можно регулировать качество интерполяции. Усреднение, как правило, улучшает качество модели. В математическом моделировании найдется множество примеров, подтверждающих этот тезис. Здесь мы приведем пример модифицированного базиса бикубической интерполяции [7], полученного в результате арифметического ($\alpha = 0,5$) усреднения моделей ПВ и ПЦ:

$$N_i(\xi, \eta) = \frac{1}{32}(1 + \xi_i \xi)(1 + \eta_i \eta)(9\xi^2 + 9\eta^2 + 9\xi_i \xi \eta_i \eta - 9\xi_i \xi - 9\eta_i \eta - 1), \quad i = 1, 4, 7, 10, \quad \xi_i, \eta_i = \pm 1;$$

$$N_i(\xi, \eta) = \frac{9}{64}(1 - \xi^2)(1 + \eta_i \eta)(18\xi_i \xi + \eta_i \eta + 1), \quad i = 2, 3, 8, 9, \quad \eta_i = \pm 1, \quad \xi_i = \pm \frac{1}{3}.$$

Проведенные исследования [8] подтверждают улучшение качества бикубической интерполяции при арифметическом усреднении ПВ и ПЦ. Интересный результат получен в компьютерных экспериментах [9] при смешивании моделей ПВ и ПЦ в различных пропорциях. Постепенное увеличение доли тринадцатого параметра приводит к сжатию параболоида вращения вдоль диагонали КЭ, содержащей «собственный» узел $N_i(\xi, \eta)$ и одновременно смещению полученного эллиптического параболоида (ЭП) к «собственному» узлу. На рис.3 показана линия нулевого уровня (эллипс) модели ЭП. В диапазоне $(0 < \alpha < 1)$ существует бесчисленное множество моделей ЭП, которые мы будем различать по коэффициенту сжатия эллипса в нулевом уровне: $k = b/a$, где $2b$ - малая ось, $2a$ - большая ось эллипса.

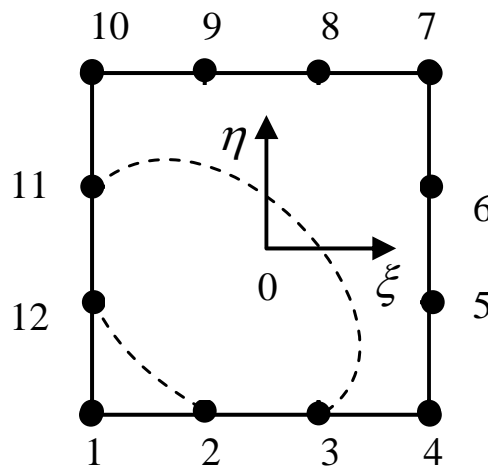


Рис.3 Линия нулевого уровня модели с эллиптическим параболоидом

Вершина эллиптического параболоида находится в точке $(-\frac{1}{3}; -\frac{1}{3}; -\frac{1}{2})$. Коэффициент сжатия $k = \frac{\sqrt{3}}{3}$. Поэтому данную модель мы обозначили так: ЭП - $\frac{\sqrt{3}}{3}$. Ниже эта модель будет использована в новой комбинации.

Для создания модифицированных базисов мы используем еще одну модель бикубической интерполяции, которая получена геометрически. Здесь, кроме стандартного гипара, присутствующего в любой «угловой» композиции, используется оригинальный гипар, образующий в нулевом уровне две пересекающиеся прямые (рис.4).

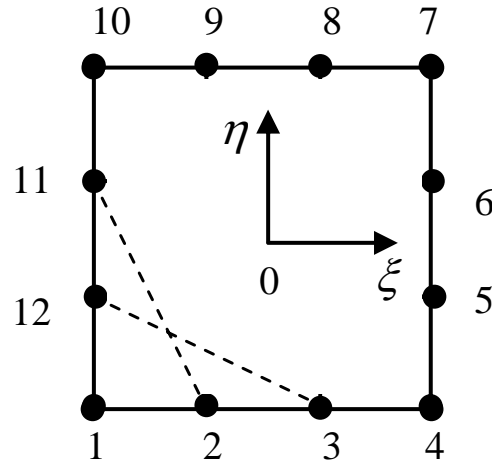


Рис.4 Линии нулевого уровня модели ГП.

Эта модель, названная нами ГП, состоит из следующих функций формы:

$$N_i(\xi, \eta) = \frac{1}{64}(1 + \xi_i \xi)(1 + \eta_i \eta)(5 - 3\xi_i \xi - 6\eta_i \eta)(5 - 6\xi_i \xi - 3\eta_i \eta), \quad i = 1, 4, 7, 10, \quad \xi_i, \eta_i = \pm 1;$$

$$N_i(\xi, \eta) = \frac{9}{128}(1 - \xi^2)(1 + \eta_i \eta)(36\xi_i \xi + 5\eta_i \eta - 1), \quad i = 2, 3, 8, 9, \quad \eta_i = \pm 1, \quad \xi_i = \pm \frac{1}{3}.$$

Результатом арифметического усреднения модели ПВ и модели ГП явилась модель ЭП- $\frac{\sqrt{39}}{13}$ с базисом:

$$N_i(\xi, \eta) = \frac{1}{128}(1 + \xi_i \xi)(1 + \eta_i \eta)(36\xi^2 + 36\eta^2 + 45\xi_i \xi \eta_i \eta - 45\xi_i \xi - 45\eta_i \eta + 5), \quad i = 1, 4, 7, 10,$$

$$\xi_i, \eta_i = \pm 1;$$

$$N_i(\xi, \eta) = \frac{9}{256}(1 - \xi^2)(1 + \eta_i \eta)(3 + 72\xi_i \xi + 5\eta_i \eta), \quad i = 2, 3, 8, 9, \quad \eta_i = \pm 1, \quad \xi_i = \pm \frac{1}{3}.$$

Если же теперь арифметически усреднить модели ЭП - $\frac{\sqrt{3}}{3}$ и ЭП - $\frac{\sqrt{39}}{13}$, то полу-

чим модель ЭП - $\frac{\sqrt{7}}{5}$ с базисом:

$$N_i(\xi, \eta) = \frac{1}{256}(1 + \xi_i \xi)(1 + \eta_i \eta)(72\xi^2 + 72\eta^2 + 81\xi_i \xi \eta_i \eta - 81\xi_i \xi - 81\eta_i \eta + 1), \quad i = 1, 4, 7, 10,$$

$$\xi_i, \eta_i = \pm 1;$$

$$N_i(\xi, \eta) = \frac{9}{512}(1 - \xi^2)(1 + \eta_i \eta)(7 + 144\xi_i \xi + 9\eta_i \eta), \quad i = 2, 3, 8, 9, \quad \eta_i = \pm 1, \quad \xi_i = \pm \frac{1}{3}.$$

Будем называть ЭП - $\frac{\sqrt{3}}{3}$ - модель 1, ЭП - $\frac{\sqrt{39}}{13}$ - модель 2, ЭП - $\frac{\sqrt{7}}{5}$ - модель 3.

Модифицированные базисы использованы для построения температурного поля пластины с граничными условиями Дирихле по формуле:

$$T(\xi, \eta) = \sum_{i=1}^{12} N_i(\xi, \eta) \cdot T_i,$$

где T_i - известные температуры в граничных узлах. Значения температуры в 9 внутренних контрольных точках $A_j (j = \overline{1,9})$ сопоставляются с точным решением. За точное решение принято решение МКР на сетке с 256 ячейками, полученное методом Гаусса и подтвержденное итерациями Либмана. Для каждой модификации вычисляется среднее квадратичное отклонение от точного решения. Результаты вычислений для двух задач с различными ГУ представлены в таблицах 1-4.

Таблица 1

Граничные условия Дирихле для температурного поля пластины

| | | | |
|--|--------------------|-------------------------------|---|
| $\eta = -1$ | $\xi = 1$ | $\eta = 1$ | $\xi = -1$ |
| $T = 30 \cos \cdot \left(\frac{\pi}{4} + \frac{\pi}{4} \cdot \xi \right)$ | $T = 15(1 + \eta)$ | $T = \frac{30}{4}(\xi + 1)^2$ | $T = 30 \cos \cdot \left(\frac{\pi}{4} + \frac{\pi}{4} \cdot \eta \right)$ |

Результаты вычислений показаны в таблице 2.

Таблица 2

Сравнение результатов моделирования температурного поля пластины

| Точка | A_1 | A_2 | A_3 | A_4 | A_5 | A_6 | A_7 | A_8 | A_9 |
|--|--------------------------------|---------------------|-------------------------------|---------------------|----------|--------------------|-------------------------------|--------------------|------------------------------|
| | $(-\frac{1}{2}, -\frac{1}{2})$ | $(0; -\frac{1}{2})$ | $(\frac{1}{2}; -\frac{1}{2})$ | $(-\frac{1}{2}; 0)$ | $(0; 0)$ | $(\frac{1}{2}; 0)$ | $(-\frac{1}{2}; \frac{1}{2})$ | $(0; \frac{1}{2})$ | $(\frac{1}{2}; \frac{1}{2})$ |
| Точное решение | 22,715 | 18,217 | 13,103 | 17,705 | 15,999 | 15,258 | 11,014 | 12,871 | 16,917 |
| Приближенная температура в точке A_j | | | | | | | | | |
| 1 модель | 24,532 | 19,429 | 13,495 | 18,489 | 16,148 | 14,814 | 10,682 | 11,977 | 15,904 |
| 2 модель | 24,3597 | 19,289 | 13,323 | 18,349 | 15,974 | 14,614 | 10,509 | 11,837 | 15,672 |
| 3 модель | 24,446 | 19,359 | 13,409 | 18,419 | 16,061 | 14,714 | 10,596 | 11,907 | 15,788 |

Среднее квадратичное отклонение $\delta = 0,981$, $\delta = 0,975$, $\delta = 0,974$ соответственно для 1, 2 и 3 моделей.

Таблица 3

Граничные условия Дирихле для температурного поля пластины

| | | | |
|-------------------------------|--------------------------------|------------|--------------------|
| $\eta = -1$ | $\xi = 1$ | $\eta = 1$ | $\xi = -1$ |
| $T = \frac{25}{2}(1 - \xi^2)$ | $T = \frac{20}{8}(1 + \eta)^3$ | $T = 20$ | $T = 10(1 + \eta)$ |

Результаты вычислений показаны в таблице 4.

Сравнение результатов моделирования температурного поля пластины

| Точка | A_1 $(-\frac{1}{2}, -\frac{1}{2})$ | A_2 $(0; -\frac{1}{2})$ | A_3 $(\frac{1}{2}; -\frac{1}{2})$ | A_4 $(-\frac{1}{2}; 0)$ | A_5 $(0; 0)$ | A_6 $(\frac{1}{2}; 0)$ | A_7 $(-\frac{1}{2}; \frac{1}{2})$ | A_8 $(0; \frac{1}{2})$ | A_9 $(\frac{1}{2}; \frac{1}{2})$ |
|--|---|------------------------------|--|------------------------------|-------------------|-----------------------------|--|-----------------------------|---------------------------------------|
| Точное решение | 8,766 | 9,754 | 6,873 | 11,244 | 11,031 | 8,345 | 15,268 | 14,835 | 12,983 |
| Приближенная температура в точке A_j | | | | | | | | | |
| 1 модель | 10,159 | 11,092 | 7,775 | 11,876 | 11,254 | 8,127 | 15,003 | 13,906 | 11,723 |
| 2 модель | 9,983 | 10,860 | 7,635 | 11,640 | 10,942 | 7,891 | 14,819 | 13,670 | 11,545 |
| 3 модель | 10,071 | 10,976 | 7,705 | 11,758 | 11,098 | 8,009 | 14,911 | 13,788 | 11,634 |

Среднее квадратичное отклонение $\delta = 0,972$, $\delta = 0,954$, $\delta = 0,956$ соответственно для 1, 2 и 3 моделей.

Выводы. Наличие альтернативных базисов и принцип взвешенного усреднения открывают широкие возможности для экспериментирования в поисках улучшенных аппроксимаций. Комбинирование бикубических поверхностей чаще всего дает модели с эллиптическим параболоидом (ЭП). Понятно, что качество таких моделей зависит не только от коэффициента сжатия ЭП, но и от граничных условий. Есть предположение, что независимо от ГУ лучшие модели следует искать в небольшой окрестности $k = 0,5$. Представляет интерес попытка найти зависимость между коэффициентом сжатия k и весовым коэффициентом α , по крайней мере, для конкретной пары прототипов.

New models bicubic interpolation are presented. For testing computing properties of model the weighed averaging boundary temperatures on a square plate is used.

1. Зенкевич О. Метод конечных элементов в технике.- М.: Мир, 1975. – 541 с.
2. Норри Д., де Фриз Ж. Введение в метод конечных элементов. – М.: Мир, 1981. – 304 с.
3. Wachspress E.L. A rational finite element basis. – Academic Press. – New York, 1975. – 216 p.
4. Хомченко А.Н. О базисных функциях МКЭ для уравнений в частных производных // III Респ. симпозиум по диффер. и интегр. уравнениям: Тез. докл. – Одесса, 1982. – С.257-258.
5. Хомченко А.Н. О модификации серендиповых элементов /Ив.- Франк. ин-т нефти и газа. – Ивано-Франковск, 1983. – 4 с. Деп. в ВИНТИ 4.07.83, №3643.
6. Коннор Дж., Бреббия К. Метод конечных элементов в механике жидкости. – Л.: Судостроение, 1979. – 264 с.
7. Хомченко А.Н., Камаева Л.И. О моделировании конечных элементов серендипова семейства// Прикл. проблемы прочности и пластичности: Всесоюзн. межвуз. сб./ Горький: ГГУ, 1985. – С. 14-17.
8. Манойленко Е.С. Модели конечных элементов для расчетов температурных полей// Сборник научных трудов Херсонского филиала Украинского государственного морского технического университета. Выпуск 1 – Херсон: ХФ УДМТУ, – 2003. – С. 62-68.
9. Козуб Н.А. Модели неклассических серендиповых базисов// Тези доп. IV міжн. н/п конф. «Математичне та прогр. забезпечення інтел. систем. – Дніпропетровськ: ДНУ, 2006. – С. 79-80.